www.ps.bam.de/NG58/L58G00F1.PS/.TXT; Linearisierte-Ausgabe
F: Ausgabe-Linearisierung (OL-Daten) NG58/L58G00F1.DAT in der Datei (F)

Siehe ähnliche Dateien: http://www.ps.bam.de/NG58/
Technische Information: http://www.ps.bam.de/ Version 2.1, io=1.1, CIELAB

BAM-Registierung: 20060101-NG58/L58G00F1.PS/.TXT
Anwendung für Bareitung und Messung von Drucker- oder Monitorsystemen

BAM-Material: Code-rhäata
NG58, Form 100, Seite 1/1, Seiten insg. 1
Seitenbeleg 1

## Eingabe: Farbmetrisches Fernseh-Licht-System TLS70 für Buntton $h^* = lab^*h = 22/360 = 0.061$ $lab^*tch$ und $lab^*nch$

D65: Buntton O
LCH*Ma: 76 28 22
olv*Ma: 1.0 0.0 0.0

Dreiecks-Helligkeit $t^*$

| TLS70; adaptierte CIELAB-Daten | $L^*=L^*_a$ | $a^*_a$ | $b^*_a$ | $C^*_{ab,a}$ | $h^*_{ab,a}$ |
|---|---|---|---|---|---|
| $O_{Ma}$ 76.43 | 26.27 | 10.57 | 28.32 | 22 | |
| $Y_{Ma}$ 93.93 | −10.76 | 34.63 | 36.27 | 107 | |
| $L_{Ma}$ 89.32 | −35.8 | 27.64 | 45.24 | 142 | |
| $C_{Ma}$ 90.93 | −21.95 | −7.07 | 23.07 | 198 | |
| $V_{Ma}$ 72.1 | 15.76 | −35.63 | 38.97 | 294 | |
| $M_{Ma}$ 78.5 | 37.52 | −25.23 | 45.22 | 326 | |
| $N_{Ma}$ 69.7 | 0.0 | 0.0 | 0.0 | 0 | |
| $W_{Ma}$ 95.41 | 0.0 | 0.0 | 0.0 | 0 | |
| $R_{CIE}$ 39.92 | 58.74 | 27.99 | 65.07 | 25 | |
| $J_{CIE}$ 81.26 | −2.88 | 71.56 | 71.62 | 92 | |
| $G_{CIE}$ 52.23 | −42.41 | 13.6 | 44.55 | 162 | |
| $B_{CIE}$ 30.57 | 1.41 | −46.46 | 46.49 | 272 | |

%Regularität
$g^*_{H,rel} = 34$
$g^*_{C,rel} = 51$

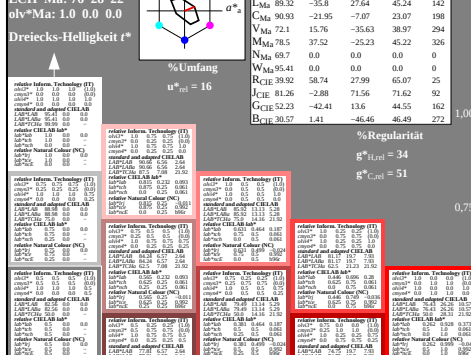


## Ausgabe: Farbmetrisches Fernseh-Licht-System TLS00 für Buntton $h^* = lab^*h = 40/360 = 0.111$ $lab^*tch$ und $lab^*nch$

D65: Buntton O
LCH*Ma: 51 100 40
olv*Ma: 1.0 0.0 0.0

Dreiecks-Helligkeit $t^*$

| TLS00; adaptierte CIELAB-Daten | $L^*=L^*_a$ | $a^*_a$ | $b^*_a$ | $C^*_{ab,a}$ | $h^*_{ab,a}$ |
|---|---|---|---|---|---|
| $O_{Ma}$ 50.5 | 76.92 | 64.55 | 100.42 | 40 | |
| $Y_{Ma}$ 92.66 | −20.69 | 90.75 | 93.08 | 103 | |
| $L_{Ma}$ 83.63 | −82.75 | 79.9 | 115.04 | 136 | |
| $C_{Ma}$ 86.88 | −46.16 | −13.55 | 48.12 | 196 | |
| $V_{Ma}$ 30.39 | 76.06 | −103.59 | 128.52 | 306 | |
| $M_{Ma}$ 57.3 | 94.35 | −58.41 | 110.97 | 328 | |
| $N_{Ma}$ 0.01 | 0.0 | 0.0 | 0.0 | 0 | |
| $W_{Ma}$ 95.41 | 0.0 | 0.0 | 0.0 | 0 | |
| $R_{CIE}$ 39.92 | 58.74 | 27.99 | 65.07 | 25 | |
| $J_{CIE}$ 81.26 | −2.88 | 71.56 | 71.62 | 92 | |
| $G_{CIE}$ 52.23 | −42.41 | 13.6 | 44.55 | 162 | |
| $B_{CIE}$ 30.57 | 1.41 | −46.46 | 46.49 | 272 | |

%Regularität
$g^*_{H,rel} = 20$
$g^*_{C,rel} = 37$

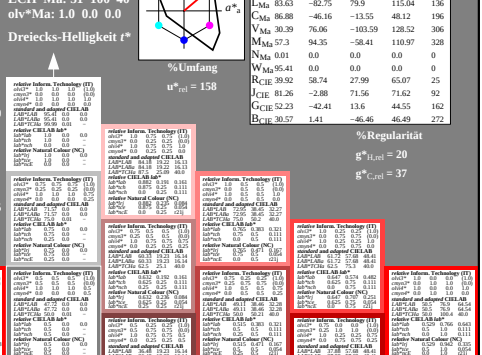


NG580−7, 5 stufige Reihen für konstanten CIELAB Buntton 22/360 = 0.061 (links) 5 stufige Reihen für konstanten CIELAB Buntton 40/360 = 0.111 (rechts)

BAM-Prüfvorlage NG58; Farbmetrik-Systeme TLS70 & TLS00 input: *olv* setrgbcolor*
D65: 2 Koordinatendaten; 5stufige Farbreihen für 10 Bunttöne output: *olv* setrgbcolor / w* setgray*